



中山大學

SUN YAT-SEN UNIVERSITY

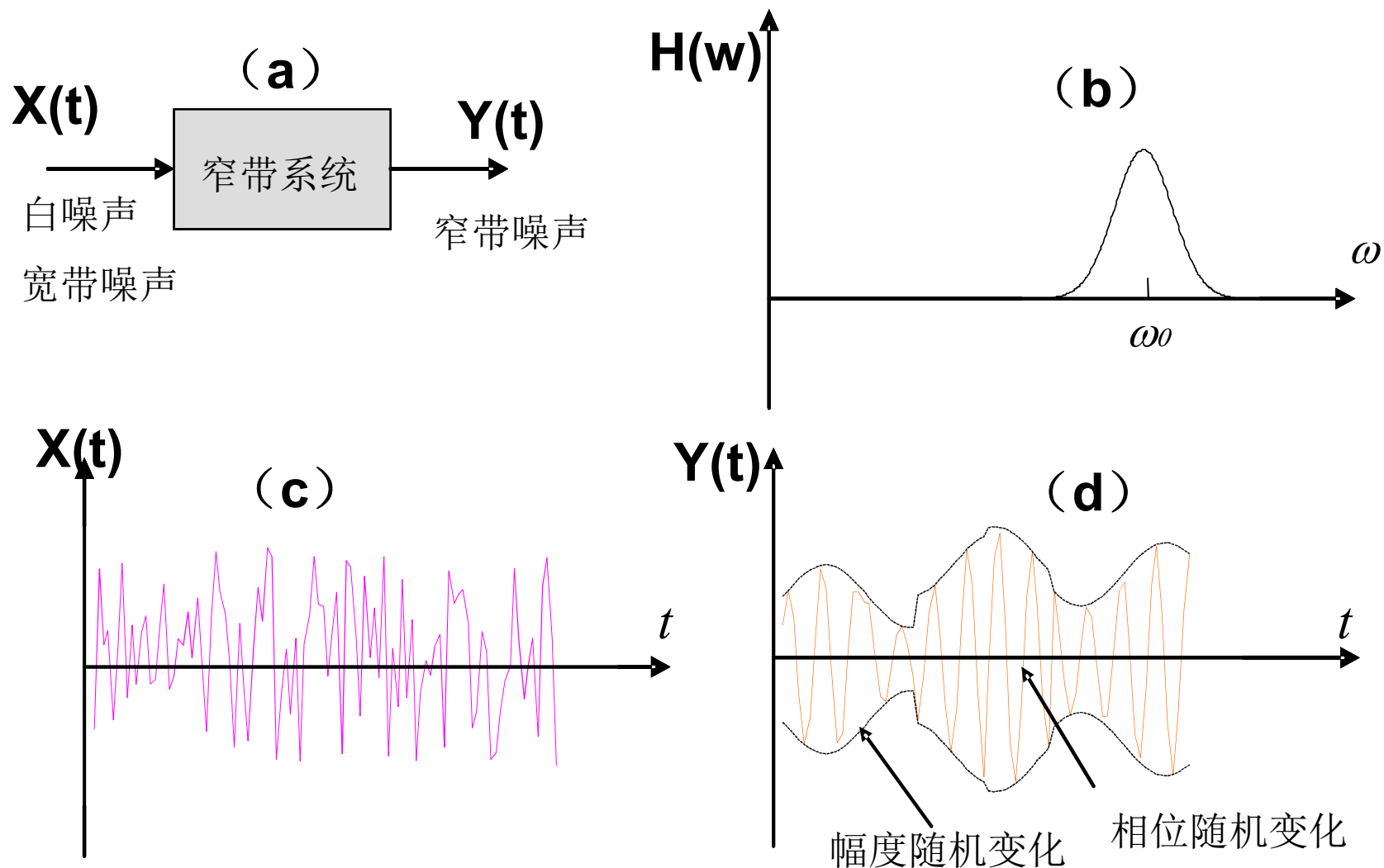
计算机作业：5.1

时间：两周（11.6号）



5.3 窄带随机过程的统计特性

5.3.1 窄带随机过程的准正弦振荡表示



白噪声或宽带噪声通过窄带系统



5.3 窄带随机过程的统计特性

$$Y(t) = A(t) \cos[\omega_0 t + \Phi(t)] \quad \text{准正弦 (Quasi Sinusoidal) 形式}$$

任一实平稳窄带随机过程 $Y(t)$ 都可以表示为上式，其中 ω_0 为窄带滤波器中心频率（载频）， $A(t)$ 和 $\Phi(t)$ 是低频的随机过程。

展开有：

$$Y(t) = A_C(t) \cos \omega_0 t - A_S(t) \sin \omega_0 t$$

莱斯 (Rice) 形式
Or 正交分量形式

ω_0 同前， $A_C(t)$, $A_S(t)$ 是另外两个低频随机过程。

$$A_C(t) = A(t) \cos \Phi(t) \quad \text{同相分量}$$

$$A_S(t) = A(t) \sin \Phi(t) \quad \text{正交分量}$$

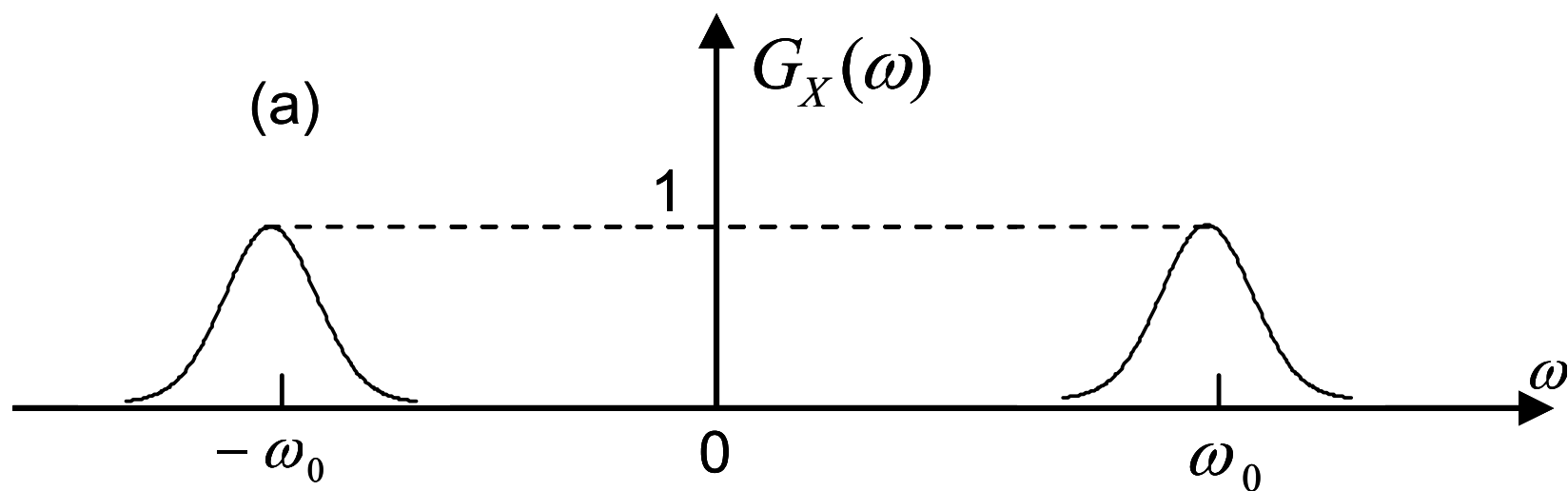
$$A(t) = \sqrt{A_C^2(t) + A_S^2(t)}$$

$$\Phi(t) = \operatorname{tg}^{-1} \frac{A_S(t)}{A_C(t)}$$

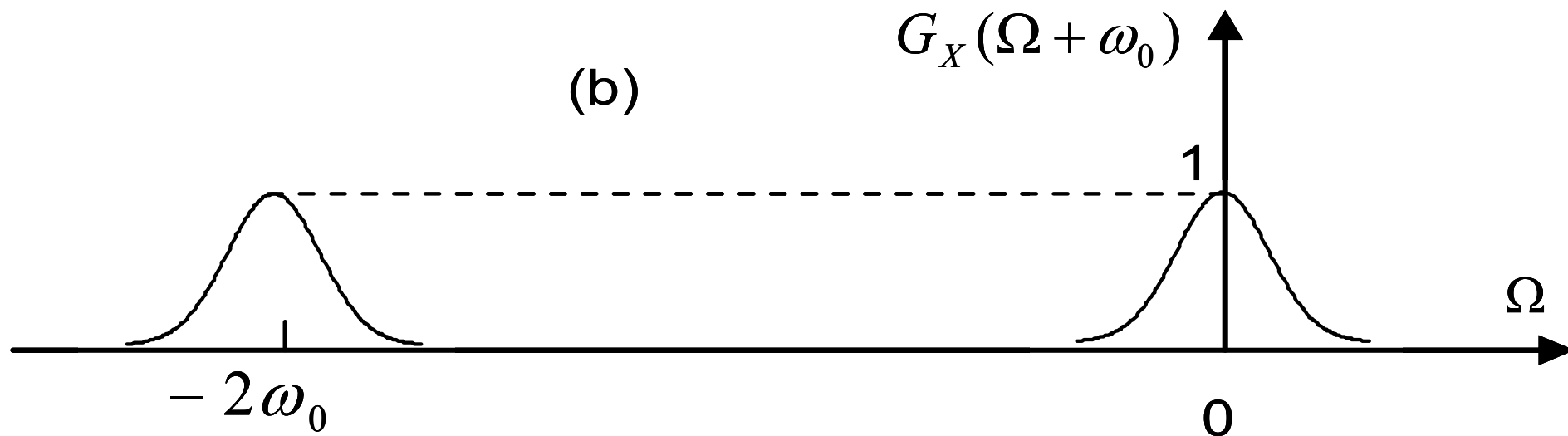


5.3.2 窄带随机过程的统计特性

1 窄带随机信号的相关函数



$$R_Y(\tau) = \frac{1}{2\pi} \int_{-\infty}^{+\infty} G_Y(\omega) e^{j\omega\tau} d\omega = \frac{1}{\pi} \int_0^{+\infty} G_Y(\omega) \cos \omega \tau d\omega$$



令 $\omega = \Omega + \omega_0$, 则

$$\begin{aligned}
 R_Y(\tau) &= \frac{1}{\pi} \int_{-\omega_0}^{+\infty} G_Y(\Omega + \omega_0) \cos[(\Omega + \omega_0)\tau] d\Omega \\
 &= \frac{1}{\pi} \int_{-\omega_0}^{+\infty} G_Y(\Omega + \omega_0) [\cos \Omega \tau \cos \omega_0 \tau - \sin \Omega \tau \sin \omega_0 \tau] d\Omega \\
 &= \frac{1}{\pi} \int_{-\omega_0}^{+\infty} G_Y(\Omega + \omega_0) \cos \Omega \tau d\Omega \cos \omega_0 \tau \\
 &\quad - \frac{1}{\pi} \int_{-\omega_0}^{+\infty} G_Y(\Omega + \omega_0) \sin \Omega \tau d\Omega \sin \omega_0 \tau
 \end{aligned}$$



5.3 窄带随机过程的统计特性

$$R_Y(\tau) = R_a(\tau) \cos \omega_0 \tau - R_b(\tau) \sin \omega_0 \tau$$

其中
$$R_a(\tau) = \frac{1}{\pi} \int_{-\omega_0}^{+\infty} G_Y(\Omega + \omega_0) \cos \Omega \tau d\Omega$$

$$R_b(\tau) = \frac{1}{\pi} \int_{-\omega_0}^{+\infty} G_Y(\Omega + \omega_0) \sin \Omega \tau d\Omega$$

$R_a(\tau)$ 和 $R_b(\tau)$ 都是低频慢变化的。如果 $G_Y(\omega)$ 具有对称形式的功率谱(频带内的功率谱关于中心频率对称), 则 $R_b(\tau) = 0$,

$R_a(\tau)$ 是偶函数, 自相关函数变为

$$R_Y(\tau) = R_a(\tau) \cos \omega_0 \tau$$

结论: $Y(t)$ 的自相关函数也是一个低频分量乘以载频。



5.3 窄带随机过程的统计特性

2. 同相分量 $A_C(t)$ 和正交分量 $A_S(t)$ 的统计特性

前面的定义：

$$A_C(t) = A(t) \cos \Phi(t) \quad \text{同相分量} \quad A_S(t) = A(t) \sin \Phi(t) \quad \text{正交分量}$$

► $A_C(t)$ 和 $A_S(t)$ 都是实随机过程。

由
$$Y(t) = A_C(t) \cos \omega_0 t - A_S(t) \sin \omega_0 t$$

可得
$$A_C(t) = Y(t) \cos \omega_0 t + \hat{Y}(t) \sin \omega_0 t$$

$$A_S(t) = -Y(t) \sin \omega_0 t + \hat{Y}(t) \cos \omega_0 t$$

可见 $A_C(t)$ 和 $A_S(t)$ 可以看作为 $Y(t)$ 和 $\hat{Y}(t)$ 经过线性变换后的结果

5.3 窄带随机过程的统计特性

考察 $A_C(t)$ 和 $A_S(t)$ 各自的自相关函数和互相关函数：

▶ $A_C(t)$ 和 $A_S(t)$ 各自平稳，且联合平稳。

$$R_C(\tau) = R_S(\tau) = R_Y(\tau) \cos \omega_0 \tau + \hat{R}_Y(\tau) \sin \omega_0 \tau$$

【证明】 $R_C(t, t - \tau) = E\{A_C(t)A_C(t - \tau)\}$ 【要求能够推导】

$$= E\{[Y(t) \cos \omega_0 t + \hat{Y}(t) \sin \omega_0 t][Y(t - \tau) \cos \omega_0 (t - \tau) + \hat{Y}(t - \tau) \sin \omega_0 (t - \tau)]\}$$

$$= R_Y(\tau) \cos \omega_0 t \cos \omega_0 (t - \tau) + R_{\hat{Y}Y}(\tau) \sin \omega_0 t \cos \omega_0 (t - \tau) \\ + R_{Y\hat{Y}}(\tau) \cos \omega_0 t \sin \omega_0 (t - \tau) + R_{\hat{Y}}(\tau) \sin \omega_0 t \sin \omega_0 (t - \tau)$$

由于 $R_Y(\tau) = R_{\hat{Y}}(\tau)$, $R_{Y\hat{Y}}(\tau) = -\hat{R}_Y(\tau) = -R_{\hat{Y}Y}(\tau)$,

所以，



5.3 窄带随机过程的统计特性

$$R_c(t, t - \tau)$$

$$= R_Y(\tau)[\cos \omega_0 t \cos \omega_0 (t - \tau) + \sin \omega_0 t \sin \omega_0 (t - \tau)] \\ + \hat{R}_Y(\tau)[\sin \omega_0 t \cos \omega_0 (t - \tau) - \cos \omega_0 t \sin \omega_0 (t - \tau)]$$

即

$$R_c(\tau) = R_Y(\tau) \cos \omega_0 \tau + \hat{R}_Y(\tau) \sin \omega_0 \tau$$

同理可证,

$$R_s(\tau) = R_Y(\tau) \cos \omega_0 \tau + \hat{R}_Y(\tau) \sin \omega_0 \tau$$

(证略) $R_{cs}(\tau) = R_Y(\tau) \sin \omega_0 \tau - \hat{R}_Y(\tau) \cos \omega_0 \tau \quad (*)$

推论:

$$R_C(0) = R_S(0) = R_Y(0) \quad (\text{零均值的话, 方差相等})$$

$$R_{CS}(-\tau) = -R_{CS}(\tau)$$

$$R_{CS}(0) = 0$$

$A_c(t)$ 和 $A_s(t)$ 在同一时刻正交



5.3 窄带随机过程的统计特性

进一步地，如果 $Y(t)$ 具有对称形式的功率谱，前面已有

$$R_Y(\tau) = R_a(\tau) \cos \omega_0 \tau,$$

则 $\hat{R}_Y(\tau) = R_a(\tau) \sin \omega_0 \tau$

将上面两式代入上页(*)式，得： $R_{cs}(\tau) = 0$

即 $A_c(t)$ 和 $A_s(t)$ 是相互正交的两个随机过程。这时，

$$\begin{aligned} R_c(\tau) &= R_Y(\tau) \cos \omega_0 \tau + \hat{R}_Y(\tau) \sin \omega_0 \tau \\ &= R_a(\tau) \cos \omega_0 \tau \cos \omega_0 \tau + R_a(\tau) \sin \omega_0 \tau \sin \omega_0 \tau \\ &= R_a(\tau) \end{aligned}$$

所以有 $R_Y(\tau) = R_c(\tau) \cos \omega_0 \tau$



5.3 窄带随机过程的统计特性

正交分量或同相分量的功率谱及其它们的互功率谱,

$$\begin{aligned} R_c(\tau) &= R_Y(\tau) \cos \omega_0 \tau + \hat{R}_Y(\tau) \sin \omega_0 \tau \\ &= \frac{1}{2} R_Y(\tau) [e^{j\omega_0 \tau} + e^{-j\omega_0 \tau}] + \frac{1}{2j} \hat{R}_Y(\tau) [e^{j\omega_0 \tau} - e^{-j\omega_0 \tau}] \end{aligned}$$

两边作傅立叶变换, 得

$$\begin{aligned} G_c(\omega) &= \frac{1}{2} [G_Y(\omega - \omega_0) + G_Y(\omega + \omega_0)] + \frac{1}{2j} [-j \operatorname{sgn}(\omega - \omega_0) \\ &\quad G_Y(\omega - \omega_0) + j \operatorname{sgn}(\omega + \omega_0) G_Y(\omega + \omega_0)] \end{aligned}$$



5.3 窄带随机过程的统计特性

即 :
$$G_c(\omega) = G_s(\omega) = \frac{1}{2} [1 + \operatorname{sgn}(\omega + \omega_0)] G_Y(\omega + \omega_0) + \frac{1}{2} [1 - \operatorname{sgn}(\omega - \omega_0)] G_Y(\omega - \omega_0)$$

从图像可以看出, $G_c(\omega)$ 是低频信号对应的功率谱, 也就是说,

$A_c(t)$ 和 $A_s(t)$ 是低频信号。

$$G_{cs}(\omega) = \frac{j}{2} [1 + \operatorname{sgn}(\omega + \omega_0)] G_Y(\omega + \omega_0) - \frac{j}{2} [1 - \operatorname{sgn}(\omega - \omega_0)] G_Y(\omega - \omega_0)$$



5.3 窄带随机过程的统计特性

关于相关函数的奇偶性小结：

1. 自相关函数总是偶函数，即 $R_X(-\tau) = R_X(\tau)$ ；
2. 互相关函数，一般有 $R_{XY}(-\tau) = R_{YX}(\tau)$ ，是奇函数的情况有：

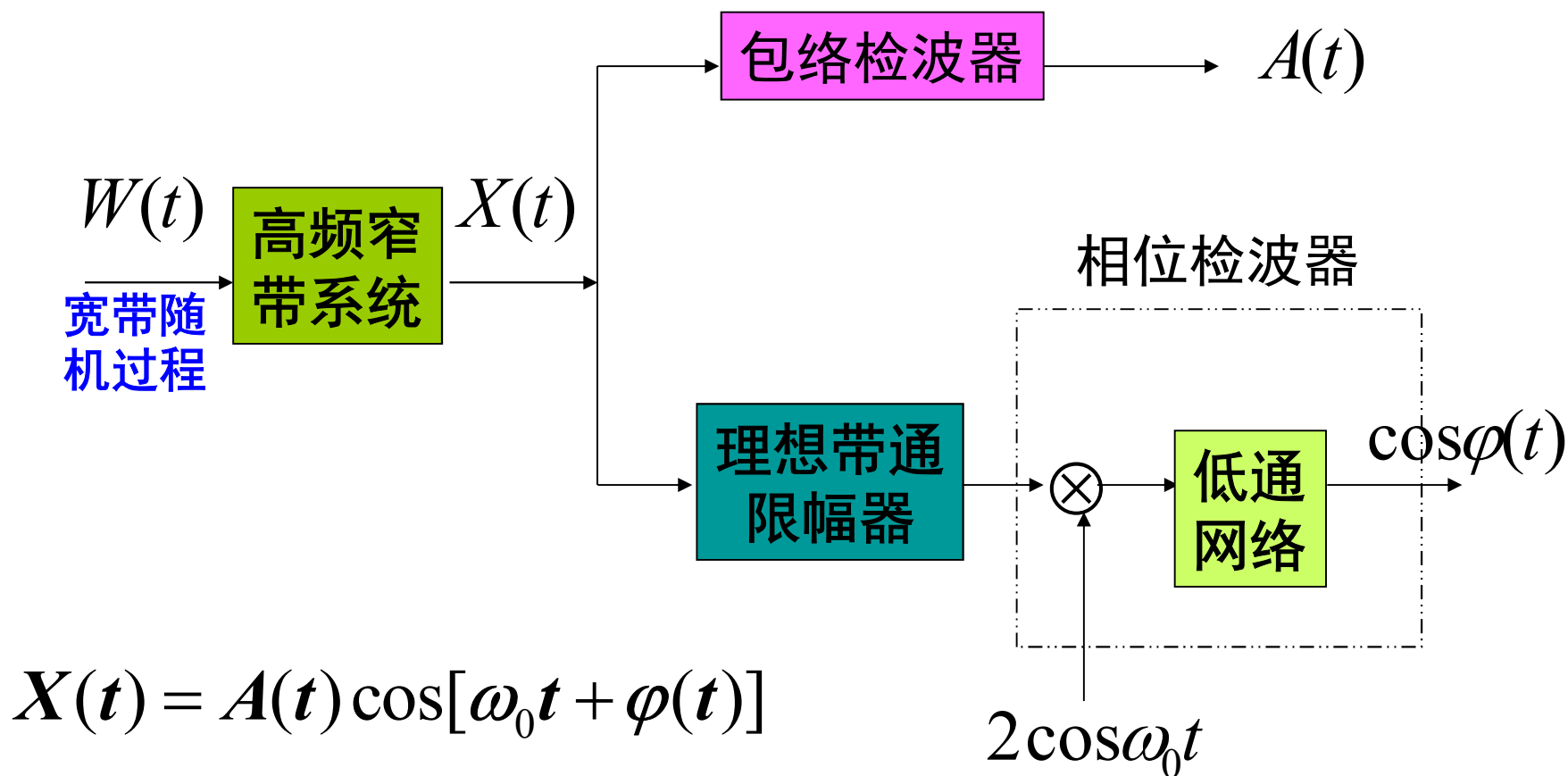
(1) 设 $Y(t) = \frac{dX(t)}{dt}$ ，有 $R_{X\dot{X}}(-\tau) = -R_{X\dot{X}}(\tau)$

(2) $R_{X\hat{X}}(-\tau) = R_{X\hat{X}}(-\tau)$, $R_{\hat{X}X}(-\tau) = R_{\hat{X}X}(-\tau)$,

(3) $R_{CS}(-\tau) = -R_{CS}(\tau)$



5.4 窄带正态随机过程包络和相位的分布





5.4.1 窄带正态噪声的包络和相位的分布

1. 一维分布

推导思路：首先确定 $A_c(t)$ 、 $A_s(t)$ 的联合分布，后利用雅可比变换求得包络 $A(t)$ 与相位 $\phi(t)$ 的联合分布，最后，利用边缘分布求包络与相位的一维分布。

问题：为什么从 $A_c(t)$ 和 $A_s(t)$ 出发来求包络和相位的分布？



已知窄带过程的一般表达式为：

$$Y(t) = A(t) \cos[\omega_0 t + \varphi(t)] = A_c(t) \cos \omega_0 t - A_s(t) \sin \omega_0 t$$

设 $Y(t)$ 的相关函数为 $R_Y(\tau)$ ，方差为 $R_Y(0) = \sigma^2$ ，而由前可知， $A_c(t)$ 和 $A_s(t)$ 都可看作是 $Y(t)$ 经过线性变换的结果。因此，如果 $Y(t)$ 为正态过程，则 $A_c(t)$ 和 $A_s(t)$ 也为正态过程，并且也具有零均值和方差 σ^2 （前面）。 $Y(t)$ 的包络和相位分别为

$$A(t) = [A_c^2(t) + A_s^2(t)]^{\frac{1}{2}}$$

$$\varphi(t) = \tan^{-1} \left[\frac{A_s(t)}{A_c(t)} \right]$$



由于 $A_c(t)$ 和 $A_s(t)$ 在同一时刻是互不相关的，因二者是正态过程，故也是互相独立的。设 A_{ct} 和 A_{st} 分别表示 $A_c(t)$ 和 $A_s(t)$ 在 t 时刻的取值(随机变量)，则其联合概率密度为

$$f_{A_c A_s}(A_{ct}, A_{st}) = f_{A_c}(A_{ct}) f_{A_s}(A_{st}) = \frac{1}{2\pi\sigma^2} \exp \left[-\frac{A_{ct}^2 + A_{st}^2}{2\sigma^2} \right]$$

因为有：

$$A_c(t) = A(t) \cos \varphi(t)$$

$$A_s(t) = A(t) \sin \varphi(t)$$

设 A_t 和 ϕ_t 分别为包络 $A(t)$ 和相位 $\varphi(t)$ 在 t 时刻的取值，则 $A(t)$ 和 $\varphi(t)$ 的联合概率密度为

$$f_{A\varphi}(A_t, \phi_t) = |J| f_{A_c A_s}(A_{ct}, A_{st})$$



其中，雅可比行列式 J 为

$$J = \left| \frac{\partial(A_{ct}, A_{st})}{\partial(A_t, \phi_t)} \right| = \begin{vmatrix} \frac{\partial A_{ct}}{\partial A_t} & \frac{\partial A_{ct}}{\partial \phi_t} \\ \frac{\partial A_{st}}{\partial A_t} & \frac{\partial A_{st}}{\partial \phi_t} \end{vmatrix} = \begin{vmatrix} \cos \phi_t & -A_t \sin \phi_t \\ \sin \phi_t & A_t \cos \phi_t \end{vmatrix} = A_t$$

代入上式，得

$$f_{A\phi}(A_t, \phi_t) = A_t f_{A_c A_s}(A_t \cos \phi_t, A_t \sin \phi_t) =$$

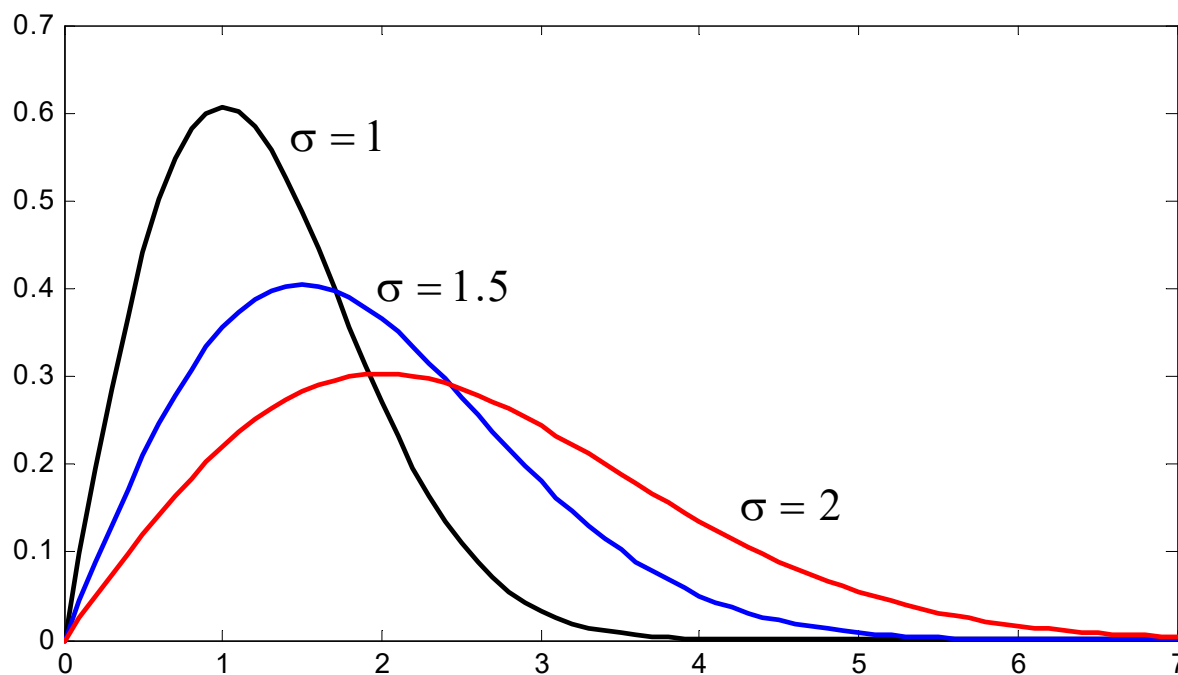
$$\begin{cases} \frac{A_t}{2\pi\sigma^2} \exp\left(-\frac{A_t^2}{2\sigma^2}\right), & A_t \geq 0, -\pi \leq \phi_t \leq \pi \\ 0, & \text{其它} \end{cases}$$



由此得出包络的一维概率密度为：

瑞利分布

$$f_A(A_t) = \int_0^{2\pi} f_{A\phi}(A_t, \phi_t) d\phi_t = \begin{cases} \frac{A_t}{\sigma^2} \exp\left(-\frac{A_t^2}{2\sigma^2}\right), & A_t \geq 0 \\ 0, & A_t < 0 \end{cases}$$





相位的一维概率密度为：

均匀分布

$$f_{\phi}(\phi_t) = \int_0^{\infty} f_{A\phi}(A_t, \phi_t) dA_t = \begin{cases} \frac{1}{2\pi}, & -\pi \leq \phi_t \leq \pi \\ 0, & \text{其它} \end{cases}$$

另外，不难看出有

$$f_{A\phi}(A_t, \phi_t) = f_A(A_t)f_{\phi}(\phi_t)$$

该式表明，在同一时刻 t ，随机变量 $A(t)$ 和 $\phi(t)$ 是相互独立的。

但要注意 $A(t)$ 与 $\phi(t)$ 并不是相互独立的两个随机过程。



2. 二维分布（指包络的二维分布和相位的二维分布） （了解）

$$f_A(A_1, A_2) = \int_0^{2\pi} \int_0^{2\pi} f_A(A_1, \varphi_1, A_2, \varphi_2) d\varphi_1 d\varphi_2$$
$$= \begin{cases} \frac{A_1 A_2}{D^{\frac{1}{2}}} I_0 \left(\frac{A_1 A_2 a(\tau)}{D^{\frac{1}{2}}} \right) \exp \left[-\frac{\sigma^2 (A_1^2 + A_2^2)}{2D^{\frac{1}{2}}} \right], & A_1, A_2 \geq 0 \\ 0, & \text{其它} \end{cases}$$

包络的二维分布是二维瑞利分布

其中 $I_0(x)$ 第一类零阶修正贝塞尔函数，定义为



$$I_0(x) = \frac{1}{2\pi} \int_0^{2\pi} e^{x \cos \varphi} d\varphi$$

$I_0(x)$ 可展开成级数

$$I_0(x) = \sum_{n=0}^{\infty} \frac{x^{2n}}{2^{2n} (n!)^2}$$

当 $x \ll 1$ 时

$$I_0(x) = 1 + \frac{x^2}{4} + \dots$$

当 $x \gg 1$ 时

$$I_0(x) \approx e^x / \sqrt{2\pi x}$$



相位的二维分布

$$f_{\phi}(\phi_1, \phi_2) = \int_0^{\infty} \int_0^{\infty} f_{A\phi}(A_1, \phi_1, A_2, \phi_2) dA_1 dA_2$$
$$= \begin{cases} \frac{D^{\frac{1}{2}}}{4\pi^2 \sigma^4} \left[\frac{(1 - \beta^2)^{\frac{1}{2}} + \beta(\pi - \cos^{-1} \beta)}{(1 - \beta^2)^{\frac{3}{2}}} \right], & 0 \leq \phi_1, \phi_2 \leq 2\pi \\ 0, & \text{其它} \end{cases}$$



5.4.2 窄带正态噪声加正弦信号的包络和相位的分布 (了解)

信号: $S(t) = a \cos(\omega_0 t + \theta)$

噪声: $N(t) = N_c(t) \cos \omega_0 t - N_s(t) \sin \omega_0 t$

$$X(t) = S(t) + N(t)$$

$$= A_c(t) \cos \omega_0 t - A_s(t) \sin \omega_0 t = A(t) \cos[\omega_0 t + \phi(t)]$$

$$\begin{cases} A_c(t) = a \cos \theta + N_c(t) \\ A_s(t) = a \sin \theta + N_s(t) \end{cases}$$



✓包络分析

$$f_A(A_t) = \frac{A_t}{\sigma^2} \exp\left[-\frac{A_t^2 + a^2}{2\sigma^2}\right] I_0\left(\frac{aA_t}{\sigma^2}\right), A_t \geq 0$$

称为**广义瑞利**概率密度，也称为**莱斯 (Rice)** 概率密度。

其中 $I_0(x) = \frac{1}{2\pi} \int_0^{2\pi} \exp(x \cos \varphi) d\varphi$ 为第一类零阶修

正贝塞尔函数，当 $x \ll 1$ 时：
$$I_0(x) \approx 1 + \frac{x^2}{4}$$

当 $x \gg 1$ 时
$$I_0(x) \approx e^x / \sqrt{2\pi x}$$



☞ 当信噪比很小时, 即 $a/\sigma \ll 1$ 时

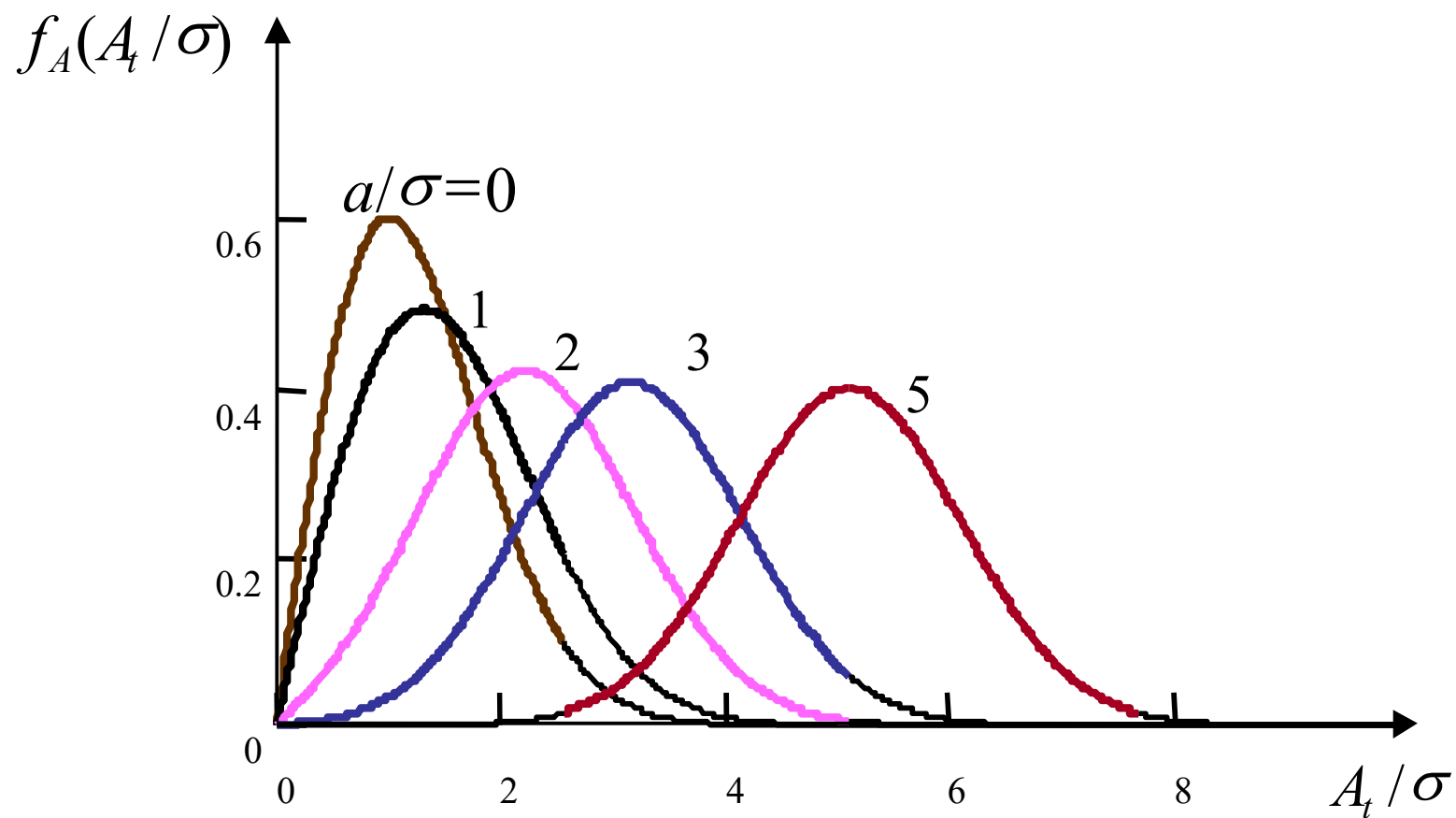
$$f_A(A_t) = \frac{A_t}{\sigma^2} \exp\left(-\frac{A_t^2 + a^2}{2\sigma^2}\right) \left(1 + \frac{a^2 A_t^2}{4\sigma^4}\right)$$

趋近瑞利分布;

☞ 当信噪比很大时

$$f_A(A_t) = \frac{(A_t/a)^{1/2}}{(2\pi\sigma^2)^{1/2}} \exp\left[-\frac{(A_t - a)^2}{2\sigma^2}\right]$$

趋近正态分布。

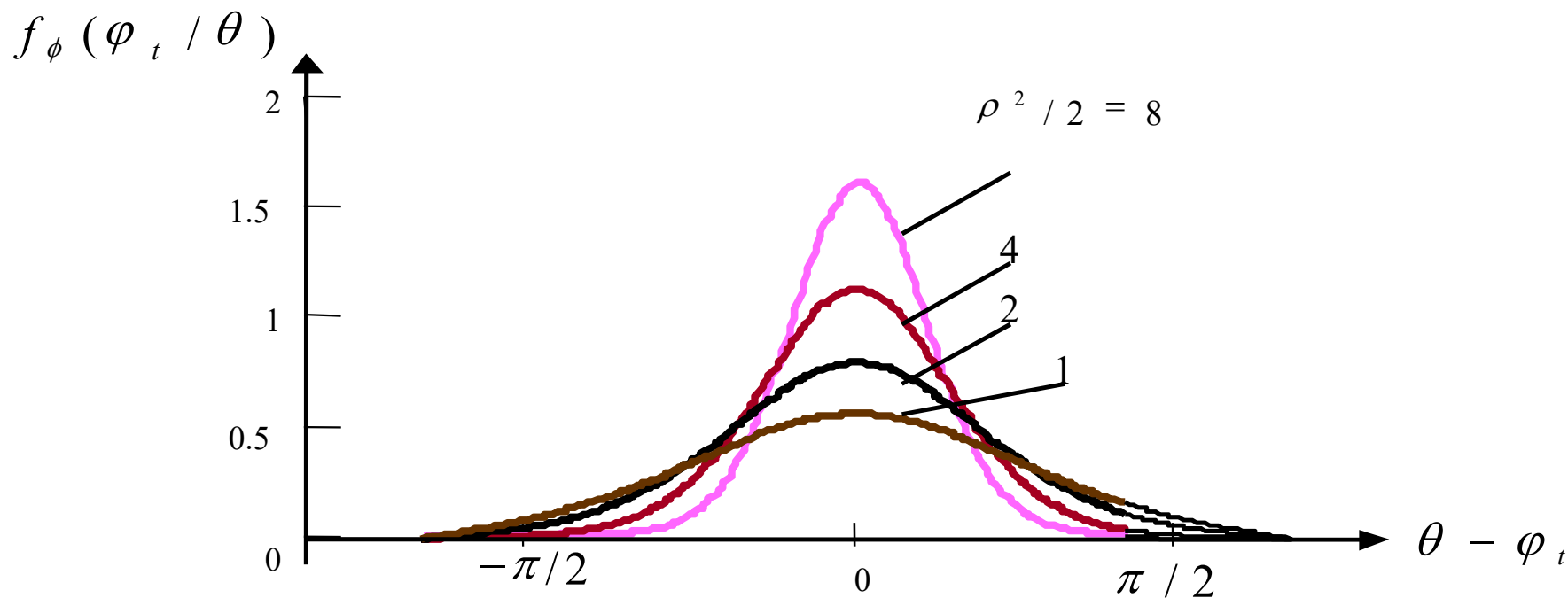


包络分布密度曲线



✓ 相位分析

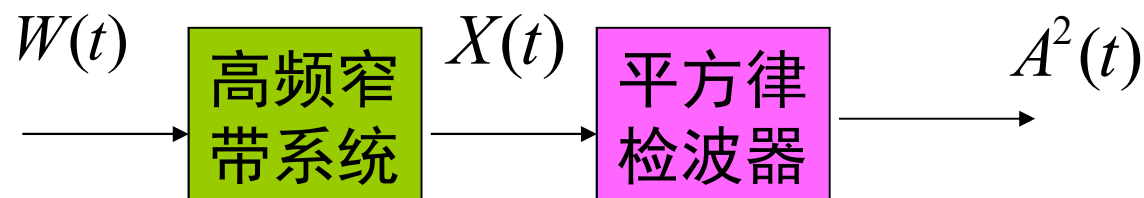
- ☞ 当信噪比很小时，相位趋近**均匀**分布
- ☞ 当信噪比很大时，相位趋近**正态**分布



信号加噪声的相位分布密度



5.4.3 窄带正态过程包络平方的分布



$$f_A(A_t) = \int_0^{2\pi} f_{A\phi}(A_t, \phi_t) d\phi_t = \begin{cases} \frac{A_t}{\sigma^2} \exp\left(-\frac{A_t^2}{2\sigma^2}\right), & A_t \geq 0 \\ 0, & A_t < 0 \end{cases}$$

✓ 窄带正态噪声包络平方的分布 $U(t) = A^2(t)$ $A_t = \sqrt{u}$



5.4 窄带正态随机过程包络和相位的分布

$$f_U(u_t) = f_A(A_t) |J| \quad J = \frac{dA_t}{du} = \frac{1}{2\sqrt{u}}$$

$$\begin{aligned} f_U(u) &= |J| \frac{A_t}{\sigma^2} \exp\left(-\frac{A_t^2}{2\sigma^2}\right) \Big|_{A_t=\sqrt{u}} \\ &= \frac{1}{2\sqrt{u}} \frac{\sqrt{u}}{\sigma^2} \exp\left(-\frac{u}{2\sigma^2}\right) = \frac{1}{2\sigma^2} \exp\left(-\frac{u}{2\sigma^2}\right) \quad u \geq 0 \end{aligned}$$

结论：窄带正态噪声的包络平方服从指数分布。

当 $\sigma^2=1$ 时， $f_U(u)=\frac{1}{2}e^{-u/2}$ ，此时 $E[U(t)]=2$ ，方差为 $D[U(t)]=4$ 。



✓ 正弦信号加窄带正态噪声包络平方的分布

$$X(t) = S(t) + N(t) = A(t) \cos[\omega_0 t + \phi(t)]$$

$$U(t) = A^2(t)$$

已知 $f_A(A_t) = \frac{A_t}{\sigma^2} \exp\left(-\frac{A_t^2 + a^2}{2\sigma^2}\right) I_0\left(\frac{aA_t}{\sigma^2}\right), A_t \geq 0$

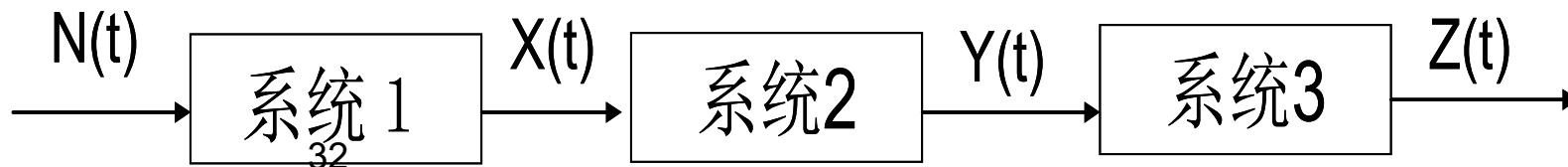
可得: $f_U(t) = \frac{1}{2\sigma^2} \exp\left[-\frac{1}{2\sigma^2}(u + a^2)\right] I_0\left(\frac{au^{1/2}}{\sigma^2}\right), u \geq 0$



练习

如图系统 1 为窄带对称系统，中心频率为 ω_0 ，其输出过程的自相关函数的包络为 $e^{-\tau^2}$ ，系统 2 的传输函数为 $-j \operatorname{sgn}(\omega)$ ，系统 3 为理想微分线性系统。输入为功率谱为 $N_0/2$ 的白高斯噪声。求系统稳态时

(1) $X(t)$ 和 $Y(t)$ 的自相关函数； (2) $Z(t)$ 的自相关函数、均值和方差； (3) $Z(t)$ 的一维分布？



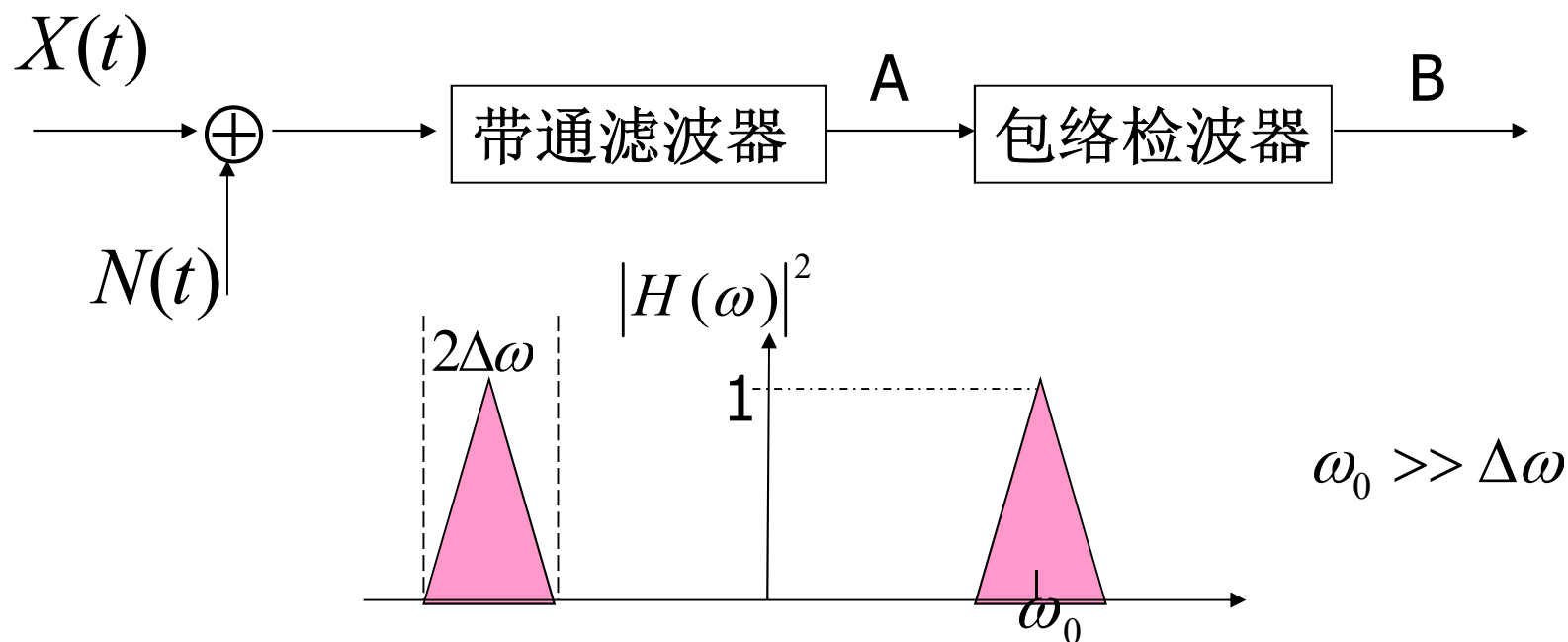


例 已知随机相位正弦波 $X(t) = \cos(\omega_0 t + \theta)$

其中 θ 为 $[0, 2\pi]$ 内均匀分布的随机变量，白噪声 $N(t)$ 的功率谱密度为 $N_0/2$ ，噪声与随机相位信号不相关，滤波器特性如下图，

求：1) A点波形的功率谱及自相关函数；

2) B点波形一维概率密度。





5.4 窄带正态随机过程包络和相位的分布

解：设 A 点波形为 $Y(t)$ ，则 $Y(t)=X(t)+N_c(t)$ ，其中 $N_c(t)$ 为白噪声通过滤波器的输出。 $X(t)$ 与 $N_c(t)$ 相互独立。有

$$R_Y(\tau) = R_X(\tau) + R_{N_c}(\tau), \quad G_Y(\omega) = G_X(\omega) + G_{N_c}(\omega)$$

$$\text{又有: } R_X(\tau) = \frac{1}{2} \cos \omega_0 \tau, \quad G_X(\omega) = \frac{\pi}{2} [\delta(\omega - \omega_0) + \delta(\omega + \omega_0)]$$

$$\begin{aligned} G_{N_c}(\omega) &= |H(\omega)|^2 G_N(\omega) = |H(\omega)|^2 \frac{N_0}{2} \\ &= \begin{cases} \frac{N_0}{2} \left[1 - \frac{1}{\Delta\omega} ||\omega| - \omega_0| \right], & |\omega \pm \omega_0| \leq \Delta\omega \\ 0, & \text{other} \end{cases} \end{aligned}$$



可得输出相关函数：

$$R_Y(\tau) = \frac{1}{2} \left[1 + \frac{N_0 \Delta \omega}{\pi} \left(\frac{\sin \Delta \omega \tau / 2}{\Delta \omega \tau / 2} \right)^2 \right] \cos \omega_0 \tau$$

(2) 设 B 点波形为 $Z(t)$ ，其为 $Y(t)$ 的包络，一维分布为广义瑞利分布。

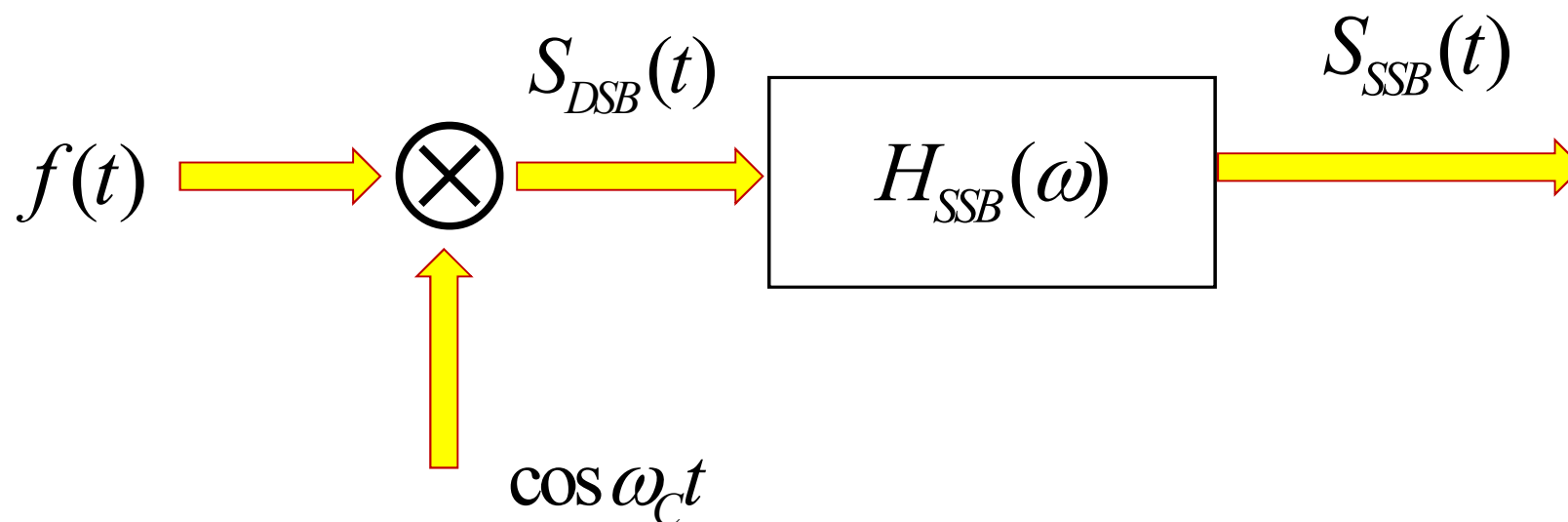
据题意，有 $a=1$ ， $N_c(t)$ 平均功率为 $\sigma^2 = \Delta f \cdot N_0 = \frac{\Delta \omega N_0}{2\pi}$

$$\text{因此 } f_Z(z) = \frac{z}{\sigma^2} \exp \left[-\frac{z^2 + 1}{2\sigma^2} \right] I_0 \left(\frac{z}{\sigma^2} \right), z \geq 0$$



5.5 信号处理实例

1. 希尔伯特变换的应用---单边带调制



单边带信号滤波法生成图



单边带调制--相移法

$$S_{SSB}(t) = S_{DSB}(t) * h_{SSB}(t)$$

$$H_{USB}(\omega) = 1 - R(\omega) \quad R(\omega) = \begin{cases} 1 & |\omega| \leq \omega_c \\ 0 & \text{other} \end{cases}$$



$$h_{USB}(t) = \frac{1}{2\pi} \int_{-\infty}^{\infty} [1 - R(\omega)] e^{j\omega t} d\omega = \delta(t) - \frac{1}{\pi} \cdot \frac{\sin \omega_c t}{t}$$



5.5 信号处理实例

$$S_{USB}(t) = S_{DSB}(t) * h_{USB}(t) = [f(t) \cos \omega_c t] * \left[\delta(t) - \frac{1}{\pi} \cdot \frac{\sin \omega_c t}{t} \right]$$

$$= f(t) \cos \omega_c t - \underbrace{[f(t) \cos \omega_c t] * \frac{1}{\pi} \cdot \frac{\sin \omega_c t}{t}}$$

$$\frac{1}{\pi} \int_{-\infty}^{\infty} \frac{f(\tau) \cos \omega_c \tau \sin(\omega_c t - \omega_c \tau)}{t - \tau} d\tau$$

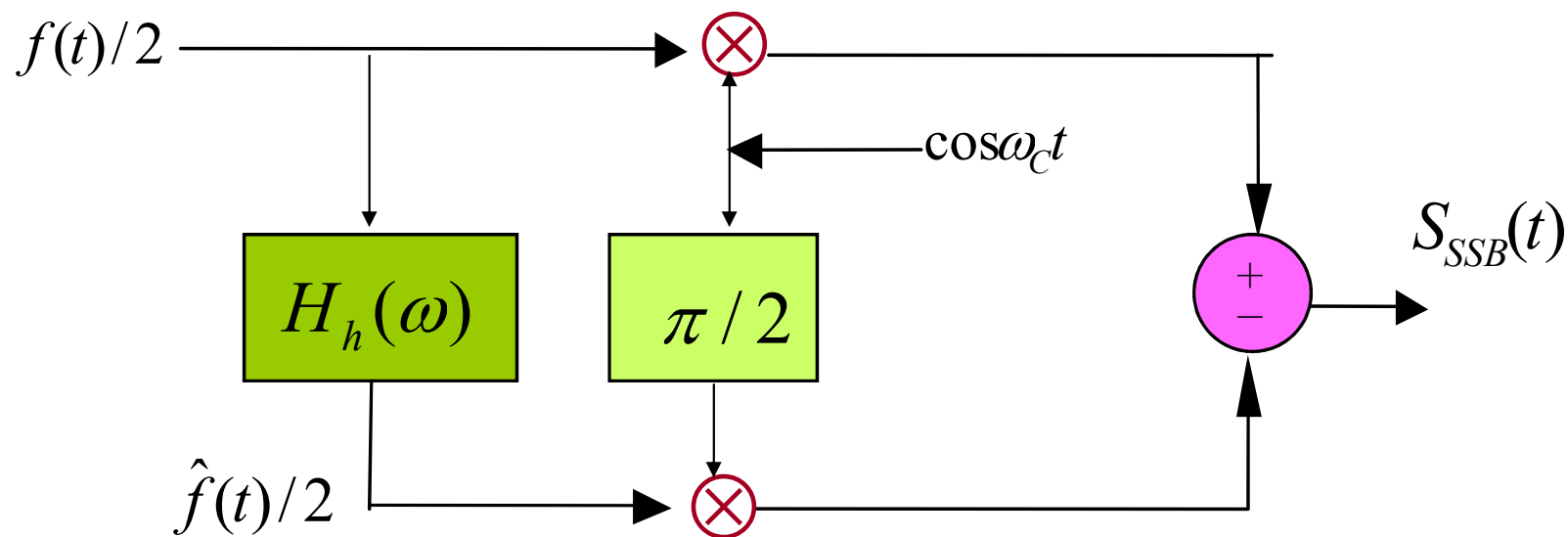
$$= \frac{1}{\pi} \sin \omega_c t \int_{-\infty}^{\infty} \frac{f(\tau) \cos \omega_c \tau \cos \omega_c \tau}{t - \tau} d\tau$$

$$- \frac{1}{\pi} \cos \omega_c t \int_{-\infty}^{\infty} \frac{f(\tau) \cos \omega_c \tau \sin \omega_c \tau}{t - \tau} d\tau$$



5.5 信号处理实例

$$S_{USB}(t) = \frac{1}{2} f(t) \cos \omega_c t - \frac{1}{2} \hat{f}(t) \sin \omega_c t$$

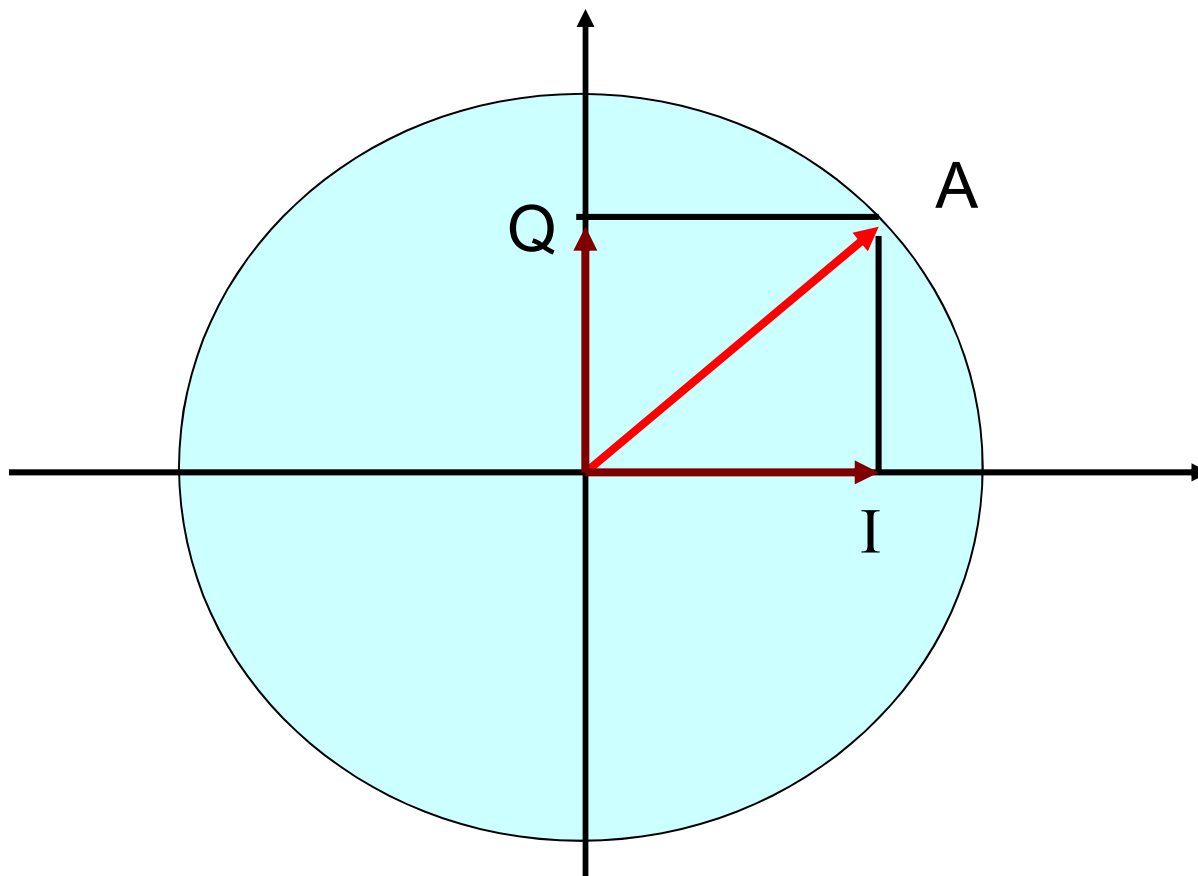


单边带调制相移法结构图



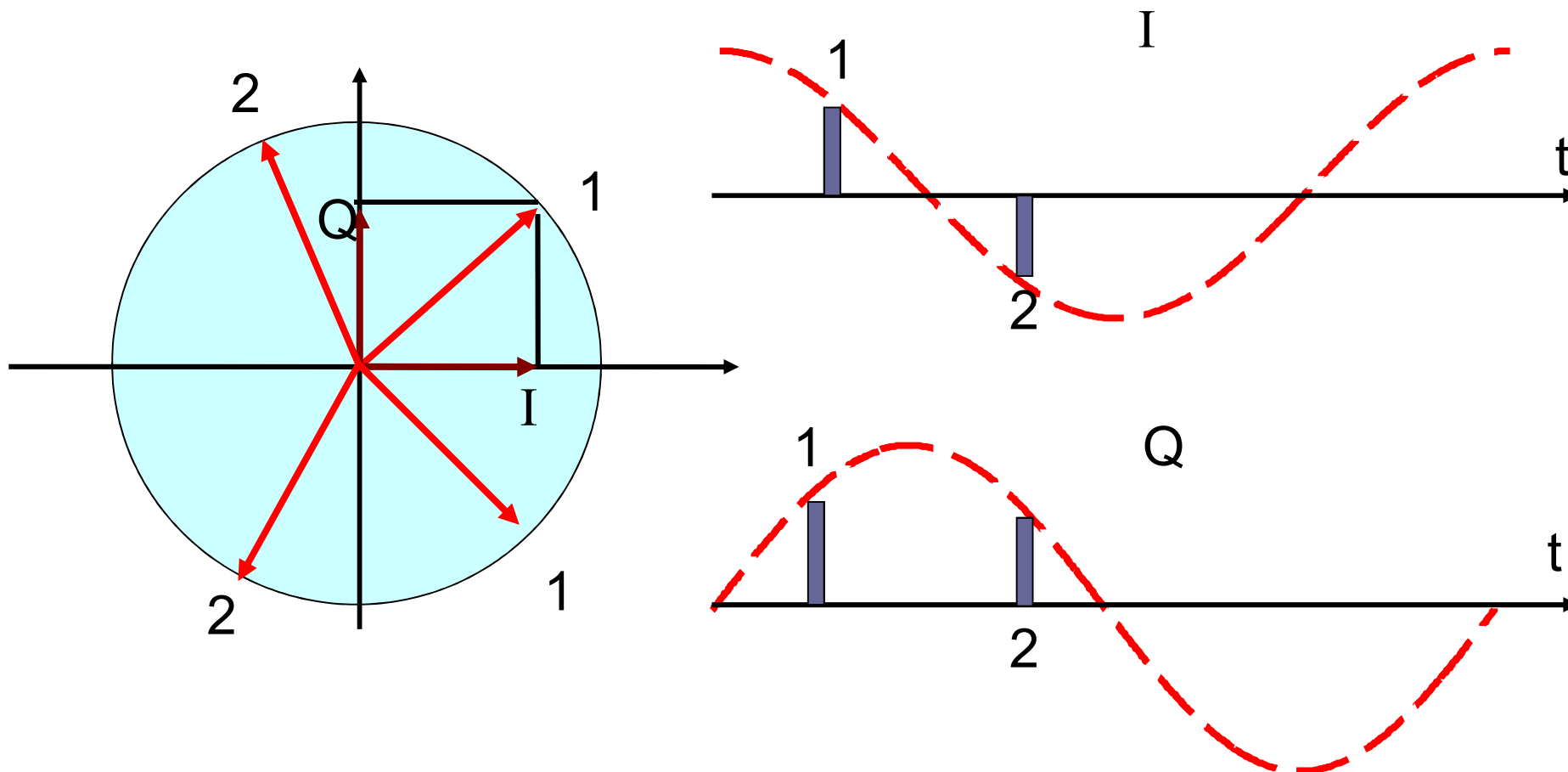
5.5 信号处理实例

2、同相、正交分量应用 - 多普勒偏移方向辨别





5.5 信号处理实例





5.5 信号处理实例

